



федеральное государственное бюджетное образовательное  
учреждение высшего образования  
**«Национальный исследовательский университет «МЭИ»**

---

Институт информационных и вычислительных технологий  
Кафедра управления и интеллектуальных технологий

**Отчёт по лабораторной работе №2**  
**По дисциплине «Моделирование систем управления»**  
**«Моделирование многосвязных систем и исследование**  
**устойчивости линейных систем»**

Выполнили студенты: Михайловский М., Рехалов А.

Группа: А-03-21

Бригада: 1

Проверил: Васильев А. А.

Москва 2024

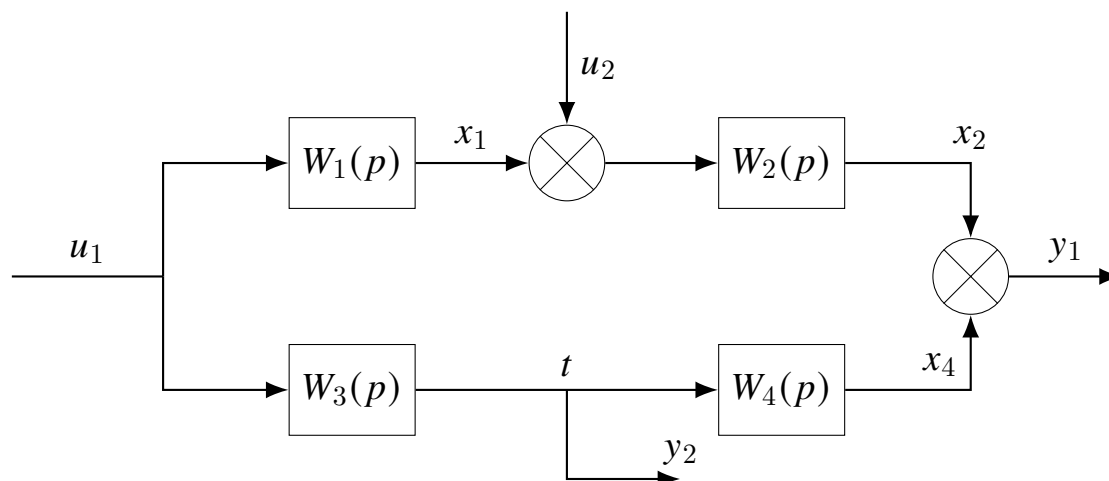
# Содержание

<b>1</b>	<b>Подготовка к работе</b>	<b>3</b>
1.1	Исследование многосвязной системы . . . . .	3
1.2	Исследование замкнутой системы . . . . .	6
<b>2</b>	<b>Выполнение работы</b>	<b>7</b>
2.1	Моделирование многосвязной системы . . . . .	7
2.2	Моделирование замкнутой системы . . . . .	9
2.3	Блоки для исследования систем . . . . .	10
<b>3</b>	<b>Выводы</b>	<b>11</b>

# 1 Подготовка к работе

## 1.1 Исследование многосвязной системы

Дана многосвязная система, представленная на рис. 1.1. Составим модель этой системы в переменных состояния.



$$W_1(p) = \frac{k_1}{1 + pT_1}, \quad W_2(p) = \frac{k_2}{p}, \quad W_3(p) = \frac{k_3 p}{1 + pT_2}, \quad W_4(p) = \frac{k_4}{p^2 + ap + b}$$

$$T_1 = 0,1, \quad T_2 = 0,4, \quad k_1 = 2, \quad k_2 = 1,1, \quad k_3 = 3,9, \quad k_4 = 5, \quad a = 6, \quad b = 2,5$$

Рис. 1.1. Структурная схема многосвязной системы

1 звено. Упругое звено представим в следующем виде (рис. 1.2):

$$W_1(p) = \frac{k_1}{1 + pT_1} \Rightarrow \dot{x}_1 = -\frac{1}{T_1}x_1 + \frac{k_1}{T_1}u_1 \quad (1)$$

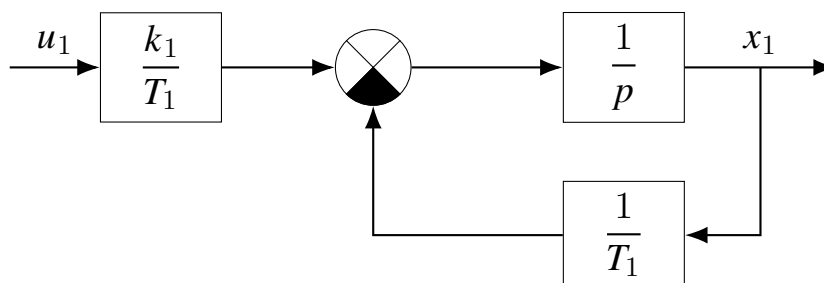


Рис. 1.2. Аналоговая структурная схема 1 звена

2 звено.

$$W_2(p) = \frac{k_2}{p} \Rightarrow \dot{x}_2 = k_2(x_1 + u_2) \quad (2)$$

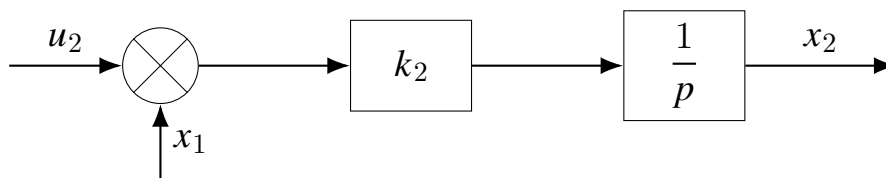


Рис. 1.3. Аналоговая структурная схема 2 звена

3 звено. Уравнения вход-выход примет вид:

$$W_3(p) = \frac{k_3 p}{1 + pT_2} \Rightarrow \dot{t} = \frac{1}{T_2} (-t + k_3 \dot{u}_1)$$

Примем следующую переменную состояния  $x_3$ :

$$\begin{cases} \dot{x}_3 = -\frac{1}{T_2} t \\ t = x_3 + \frac{k_3}{T_2} u_1 \end{cases} \quad (3)$$

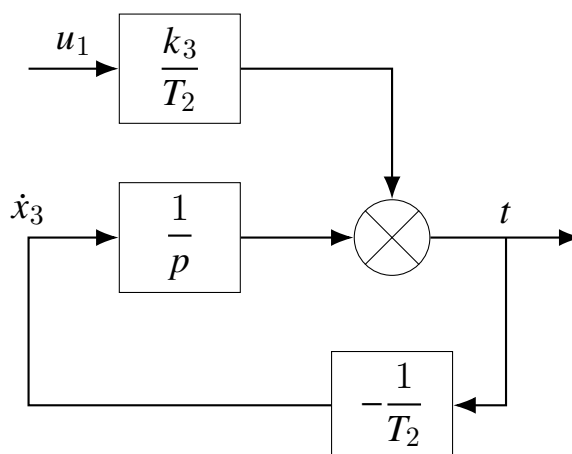


Рис. 1.4. Аналоговая структурная схема 3 звена

4 звено.

$$W_4(p) = \frac{k_4}{p^2 + ap + b} \Rightarrow \ddot{x}_4 + a\dot{x}_4 + bx_4 = k_4 t$$

Примем следующие две переменные состояния  $x_4$  и  $x_5$ :

$$\begin{cases} \dot{x}_4 = x_5 \\ \dot{x}_5 = -bx_4 - ax_5 + k_4 t \end{cases} \quad (4)$$

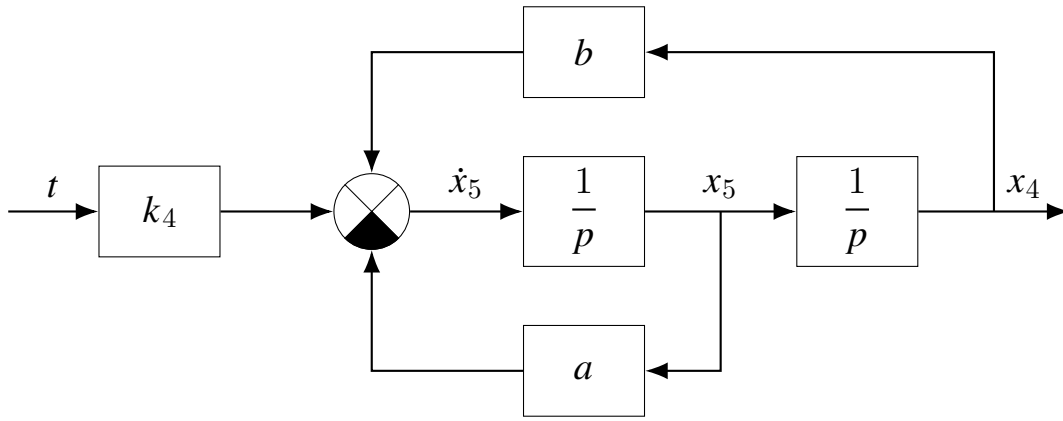


Рис. 1.5. Аналоговая структурная схема 4 звена

Собирая полученные уравнения получаем:

$$\begin{cases} \dot{x}_1 = -\frac{1}{T_1}x_1 + \frac{k_1}{T_1}u_1 \\ \dot{x}_2 = k_2x_1 + k_2u_1 \\ \dot{x}_3 = -\frac{1}{T_2}x_3 - \frac{k_3}{T_2^2}u_1 \\ \dot{x}_4 = x_5 \\ \dot{x}_5 = k_4x_3 - bx_4 - ax_5 + \frac{k_3k_4}{T_2}u_1 \\ y_1 = x_2 + x_4 \\ y_2 = x_3 + \frac{k_3}{T_2}u_1 \end{cases} \quad (5)$$

Эти уравнения в матричной форме принимают следующий вид:

$$\begin{cases} \dot{x} = Ax + Bu \\ y = Cx + Du \end{cases} \quad (6)$$

$$A = \begin{bmatrix} -\frac{1}{T_1} & 0 & 0 & 0 & 0 \\ k_2 & 0 & 0 & 0 & 0 \\ 0 & 0 & -\frac{1}{T_2} & 0 & 0 \\ 0 & 0 & 0 & 0 & 1 \\ 0 & 0 & k_4 & -b & -a \end{bmatrix}, \quad B = \begin{bmatrix} \frac{k_1}{T_1} & 0 \\ 0 & k_2 \\ -\frac{k_3}{T_2^2} & 0 \\ 0 & 0 \\ \frac{k_3k_4}{T_2} & 0 \end{bmatrix}, \quad C = \begin{bmatrix} 0 & 1 & 0 & 1 & 0 \\ 0 & 0 & 1 & 0 & 0 \end{bmatrix}, \quad D = \begin{bmatrix} 0 & 0 \\ \frac{k_3}{T_2} & 0 \end{bmatrix} \quad (7)$$

## 1.2 Исследование замкнутой системы

Дана передаточная функция разомкнутой системы:

$$W_p(p) = \frac{k_p(1 - pT_1)}{\left(1 + p\frac{T_1}{2}\right)(1 + pT_2)}, \quad T_1 = 0,1, \quad T_2 = 2 \quad (8)$$

Для этого представим передаточную функцию в виде суммы простейших дробей:

$$W_p(p) = \frac{2k_p}{T_1T_2} \frac{1 - pT_1}{\left(p + \frac{2}{T_1}\right)\left(p + \frac{1}{T_2}\right)} = c_0 + \frac{c_1}{p + \frac{2}{T_1}} + \frac{c_2}{p + \frac{1}{T_2}}$$

$$c_0 = \lim_{p \rightarrow \infty} W_p(p) = 0$$

$$c_1 = \operatorname{res}_{p = -\frac{2}{T_1}} W(p) = \lim_{p \rightarrow -\frac{2}{T_1}} \frac{2k_p}{T_1T_2} \left(p + \frac{2}{T_1}\right) \frac{1 - pT_1}{\left(p + \frac{2}{T_1}\right)\left(p + \frac{1}{T_2}\right)} = \frac{2k_p}{T_1} \frac{3}{1 - \frac{2T_2}{T_1}} = \frac{6k_p}{T_1 - 2T_2}$$

$$c_2 = \operatorname{res}_{p = -\frac{1}{T_2}} W(p) = \lim_{p \rightarrow -\frac{1}{T_2}} \frac{2k_p}{T_1T_2} \left(p + \frac{1}{T_2}\right) \frac{1 - pT_1}{\left(p + \frac{2}{T_1}\right)\left(p + \frac{1}{T_2}\right)} = \frac{k_p}{T_2} \frac{1 + \frac{T_1}{T_2}}{1 - \frac{T_1}{2T_2}} = \frac{2k_p}{T_2} \cdot \frac{T_1 + T_2}{2T_2 - T_1}$$

Получили каноническое представление разомкнутой передаточной функции. Аналоговая структурная схема для его моделирования представлена на рис. 1.6.

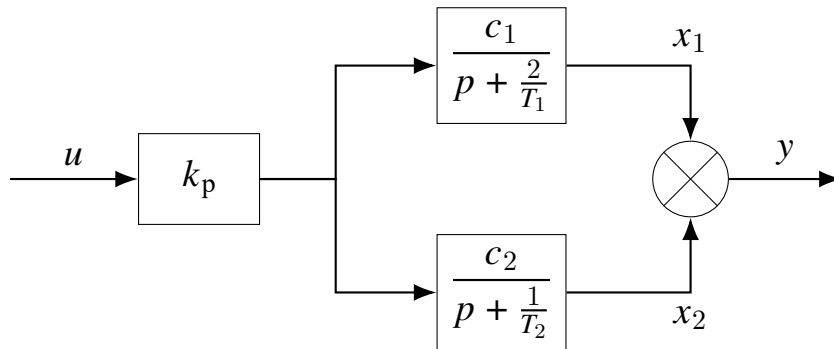


Рис. 1.6. Структурная схема разомкнутой системы в каноническом виде

Уравнения в переменных состояния примут следующий вид:

$$\begin{cases} \dot{x}_1 = -\frac{2}{T_1}x_1 + c_1k_p u \\ \dot{x}_2 = -\frac{1}{T_2}x_2 + c_2k_p u \\ y = x_1 + x_2 \end{cases} \quad (9)$$

Или в матричном виде (6):

$$A = \begin{bmatrix} -\frac{2}{T_1} & 0 \\ 0 & -\frac{1}{T_2} \end{bmatrix}, B = k_p \cdot \begin{bmatrix} c_1 \\ c_2 \end{bmatrix}, C = [1 \quad 1], D = 0 \quad (10)$$

Исследуем устойчивость замкнутой системы, полученной из данной разомкнутой добавлением единичной отрицательной обратной связи.

Характеристический полином замкнутой системы:

$$C(p) = k_p(1-pT_1) + \left(1 + p\frac{T_1}{2}\right)(1+pT_2) = \frac{T_1T_2}{2}p^2 + \left(T_2 + \frac{T_1}{2} - k_pT_1\right)p + k_p + 1 \quad (11)$$

Следствием критерия устойчивости системы Гурвица для систем 2-го порядка, является то, что для устойчивости системы необходимо и достаточно, чтобы все коэффициенты характеристического полинома системы  $C(p)$  были одного знака.

Тогда с учётом (11) предельный коэффициент усиления выражается следующим образом:

$$k_{пр} = \frac{T_2}{T_1} + \frac{1}{2} \quad (12)$$

## 2 Выполнение работы

### 2.1 Моделирование многосвязной системы

Для моделирования системы в среде *SimInTech* была собрана схема, представленная на рис. 2.1. На ней система собрана в двух представлениях: в исходных звеньях и в переменных состояния.

В соответствии с полученными в подготовке выражениями (7) матрицы системы в переменных состояния принимают вид:

$$A = \begin{bmatrix} -10 & 0 & 0 & 0 & 0 \\ 1,1 & 0 & 0 & 0 & 0 \\ 0 & 0 & -2,5 & 0 & 0 \\ 0 & 0 & 0 & 0 & 1 \\ 0 & 0 & 5 & -2,5 & -6 \end{bmatrix}, B = \begin{bmatrix} 20 & 0 \\ 0 & 1,1 \\ -24,375 & 0 \\ 0 & 0 \\ 48,75 & 0 \end{bmatrix},$$

$$C = \begin{bmatrix} 0 & 1 & 0 & 1 & 0 \\ 0 & 0 & 1 & 0 & 0 \end{bmatrix}, D = \begin{bmatrix} 0 & 0 \\ 9,75 & 0 \end{bmatrix}$$

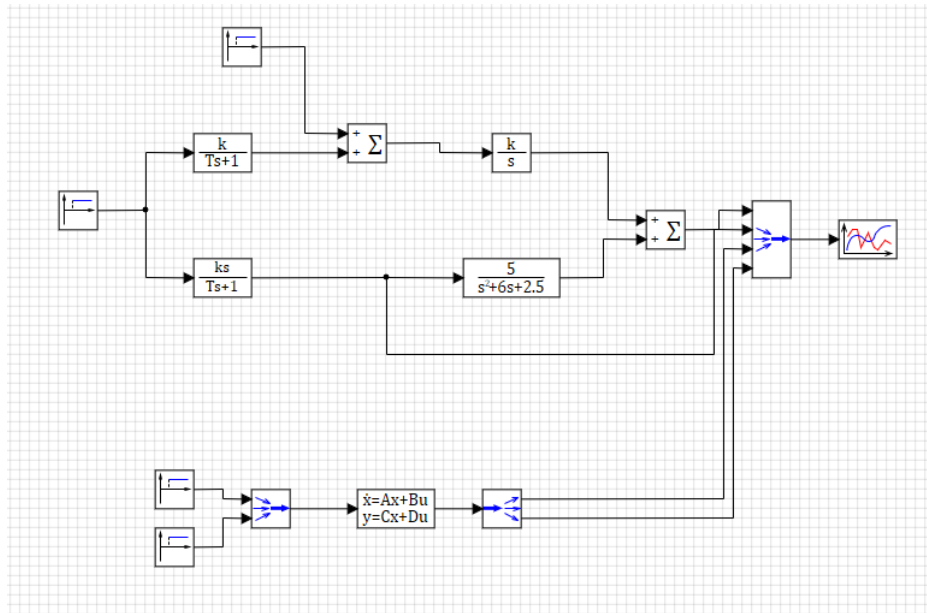


Рис. 2.1. Схема для моделирования многосвязной системы

В блоке переменных состояния в среде *SimInTech* все эти матрицы указываются в транспонированном виде. В результате моделирования переходные процессы, представленные на рис. 2.2. Видим, что графики для обеих реализации многосвязной системы совпали, значит они являются эквивалентными и ошибок при переходе от одного представления к другому допущено не было.

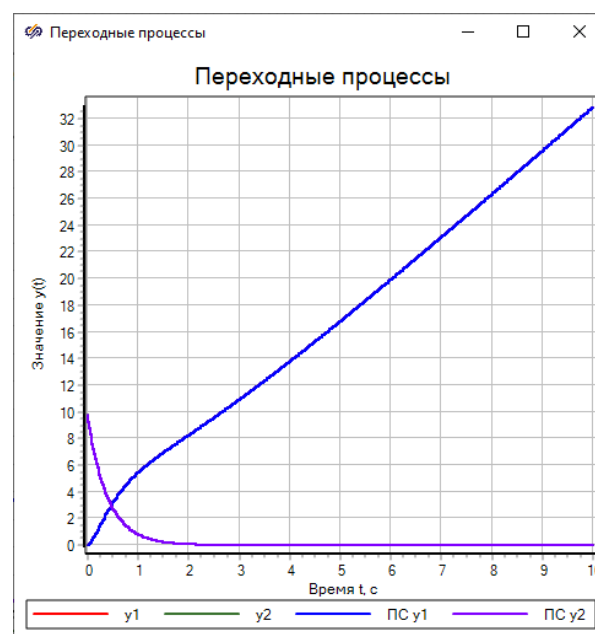


Рис. 2.2. Переходные процессы, полученные в результате моделирования многосвязной системы



## 2.2 Моделирование замкнутой системы

Для моделирования была собрана схема, представленная на рис. 2.3. Так же как и при моделировании многосвязной системы система собрана в двух представлениях.

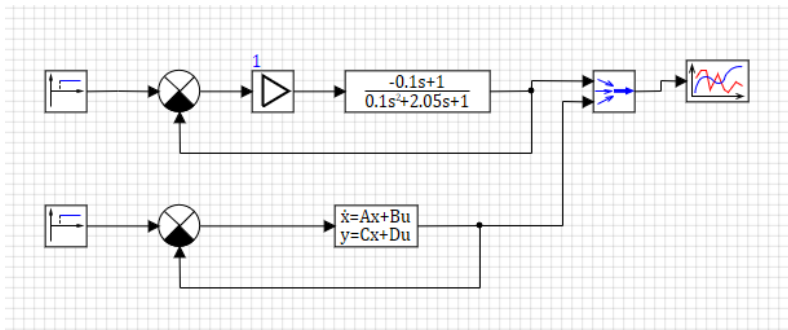


Рис. 2.3. Схема для моделирования замкнутой системы

Матрицы системы в переменных состояния в соответствии с выражениями, полученными в подготовке (10):

$$A = \begin{bmatrix} -20 & 0 \\ 0 & -0,5 \end{bmatrix}, \quad B = \begin{bmatrix} -1,54 \\ 0,54 \end{bmatrix}, \quad C = [1 \quad 1], \quad D = 0$$

Здесь  $k_p$  положен равным 1. В результате моделирования, получили процессы, представленные на рис. 2.4. Как видим, процессы в обоих представлениях системы совпали, значит они являются эквивалентными.

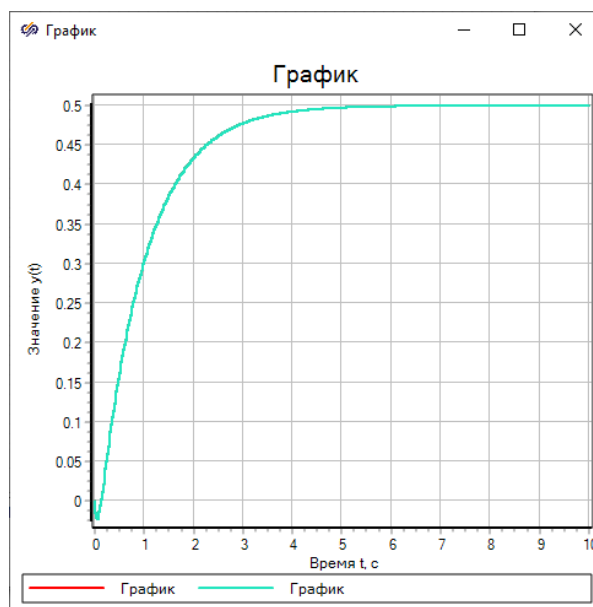


Рис. 2.4. Переходные процессы, полученные в результате моделирования замкнутой системы

**Устойчивость.** В соответствии с выражением (12), полученным в подготовке имеем  $k_{пр} = 20,5$ . Проверяем экспериментально, и получаем, что при  $k_p = 20,5$  действительно процессы в системе являются незатухающими: рис. 2.5.

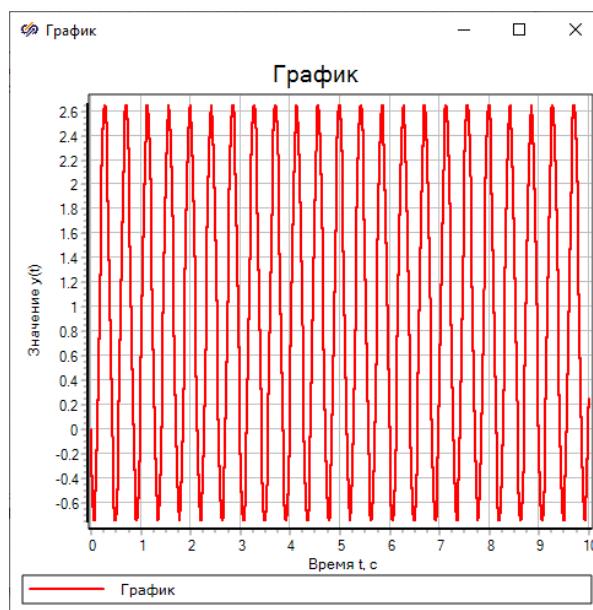


Рис. 2.5. Процессы в замкнутой системе при  $k_p = 20,5$

Исследуем экспериментально влияние параметра  $\tau = \frac{T_2}{T_1}$  на значение  $k_{пр}$ . Полученные значения занесены в табл. 1 и построены на графике, представленном на рис. 2.6. Как видно по графику, полученная зависимость совпадает с выведенной в подготовке (12) и является линейной.

$\tau = \frac{T_2}{T_1}$	$k_{пр}$
10	10,5
20	20,5
40	40,5
60	60,5
100	100,5

Таблица 1. Полученная зависимость  $k_{пр}(\tau)$

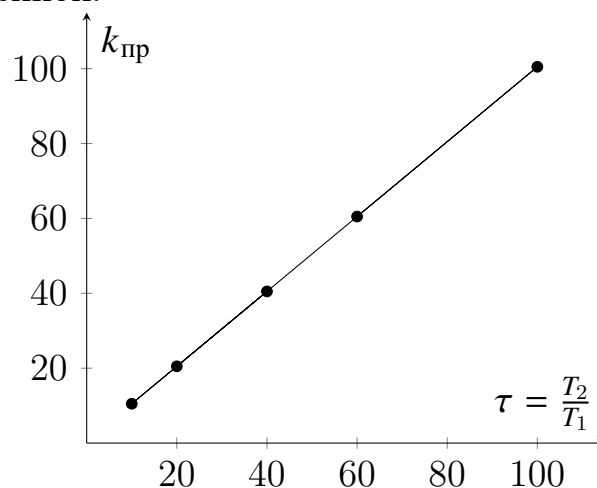


Рис. 2.6. График зависимости  $k_{пр}(\tau)$

## 2.3 Блоки для исследования систем

Рассмотрим применение готовых блоков из *SimInTech* для исследования частотных и алгебраических характеристик систем. Собрана схема, представленная на рис. 2.7.

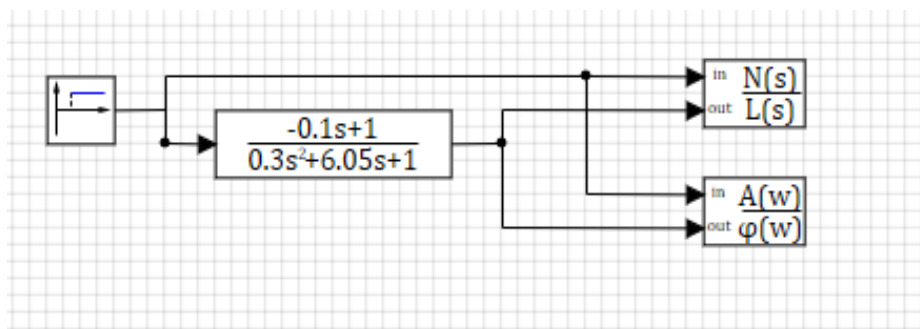


Рис. 2.7. Схема для исследования характеристик системы

В результате моделирования такой схемы мы можем увидеть годограф Найквиста, нули, полюсы системы и другие характеристики: рис. 2.8-2.9.

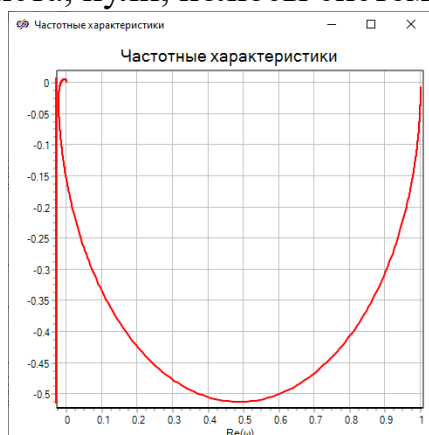


Рис. 2.8. Годограф Найквиста системы

Коэффициенты передаточной функции		
Текущее время расчёта 10		
Название	Имя	Формула
Числитель W(s)	Transfer	[[13666.667, 11958.333, -582.5, -10, -3.1666667, -0.33333333]]
Знаменатель W(s)	Transfer	[[13666.667, 96008.333, 85466.25, 8600, 621.58333, 39.666667, 1]]
Нули (корни уравнения N(s) = 0)	Transfer	[[10+0i, -1.0975942E-13+14.317821i, -1.0975942E-13-14.317821i, -1.0861383+0i, -18.413862+0i]]
Полюсы (корни уравнения L(s) = 0)	Transfer	[[0, 1, 0, 0, 0, 0], [-3.3333333, -20.166667, 0, 0, 0, 0], [0, 0, -18.461538, 1.5384615, 0, 0], [0, 0, -0.53846154, -1.0384615, 0, 0], [0, 0, 0, 0, 0, 0]]
Матрица A (собственная матрица)	Transfer	[[0, 3.3333333], [0, 0], [0], [0]]
Матрица B (матрица входов)	Transfer	[[1, -0.1, 0, 0, 0, 0]]
Матрица C (матрица выходов)	Transfer	[[1, -0.1, 0, 0, 0, 0]]
Матрица D (матрица обхода)	Transfer	[[0]]

Рис. 2.9. Алгебраические характеристики системы

### 3 Выводы

В этой работе было проведено моделирование двух систем: многосвязной и замкнутой. Для этого системы были представлены в переменных состояниях. На практике при работе в *SimInTech* задание системы в типовых звеньях и переменных состояниях давало одинаковые результаты.

Для замкнутой системы была исследована устойчивость и зависимость предельного коэффициента усиления от параметра, характеризующего постоянными времени системы,  $k_{пр} \left( \frac{T_2}{T_1} \right)$ . Полученные результаты совпали с теми, что были получены в подготовке к работе.

Была исследована возможность использования типовых блоков *SimInTech* для получения частотных и алгебраических характеристик системы.